

УДК 535.8;539.125.523.32

## ВОЛНОВОДНОЕ УСИЛЕНИЕ РАССЕЯНИЯ СО СПИН-ФЛИПОМ ПРИ ОТРАЖЕНИИ ПОЛЯРИЗОВАННЫХ НЕЙТРОНОВ ОТ СЛОИСТОЙ СТРУКТУРЫ «МЯГКИЙ МАГНЕТИК/ЖЕСТКИЙ МАГНЕТИК»

Ю. Н. Хайдуков, М. А. Андреева

(кафедра физики твердого тела; кафедра нейтронографии)

E-mail: maa@runar.phys.msu.su

**В работе теоретически исследуется отражение поляризованных нейтронов от многослойной пленки, включающей слои мягкого и жесткого магнетиков и характеризующейся спиральным изменением вектора намагниченности в слое мягкого магнетика. Показана возможность получения информации о характере изменения по глубине направления вектора намагниченности в слое мягкого магнетика, используя волноводное усиление потока нейтронов в этом слое.**

### Введение

Гигантский интерес к многослойным магнитным пленкам, обусловленный их нетривиальными свойствами и важностью практических применений (см., напр., обзорную работу [1]), стимулирует развитие и совершенствование методов их исследования. В частности, селективные по глубине исследования магнитной структуры методами мессбауэровской или нейтронной рефлектометрии [2–5] позволяют изучать особенности межслойного и внутрислойного обменного взаимодействия. Однако зеркально отраженный сигнал формируется как результат многолучевой интерференции волн, переотраженных всеми границами раздела в многослойной пленке, и является в значительной степени интегральной характеристикой. Детальную информацию о свойствах среды на определенной глубине можно получать с помощью тестовых резонансных монослоев, встраиваемых в исследуемую пленку на различную глубину, как это, например, сделано в работе [6]. Другим способом получения подобной информации является формирование в исследуемом слое резонансно усиленной стоячей волны (волноводной моды) [7–11].

В настоящей работе рассматривается бислойная пленка, состоящая из слоя мягкого и слоя жесткого магнетиков. Такие системы являются идеальными модельными системами для исследования механизма обменного взаимодействия. При включении внешнего магнитного поля, перпендикулярного намагниченности  $\mathbf{M}$  в слое жесткого магнетика, происходит спиральное закручивание намагниченности в слое мягкого магнетика (рис. 1). Существует несколько теоретических моделей для описания закона изменения угла поворота намагниченности  $\varphi = \varphi(z)$  [12, 13], однако экспериментальное изучение этой зависимости достаточно сложно. Так, в работе [14] для увеличения информативности рефлектометрических кривых (зависимостей коэффициента зеркального отражения от переданного импульса  $Q_z = 4\pi \sin \vartheta / \lambda$ , то есть от угла скольжения  $\vartheta$  или

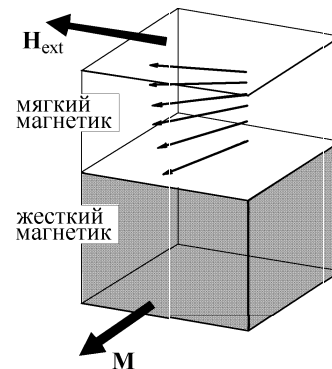


Рис. 1. Структура «мягкий магнетик/жесткий магнетик» с изменяющимся по глубине направлением вектора намагниченности в слое мягкого магнетика при наличии внешнего магнитного поля, неколлинеарного направлению намагниченности в слое жесткого магнетика

от длины волны излучения  $\lambda$ ) при исследовании таких систем использовалось отражение поляризованных нейтронов от двух поверхностей образца. Мы попытались проанализировать возможность исследования зависимости  $\varphi(z)$  с помощью возбуждения в слое мягкого магнетика волноводной моды. Отметим, что эффективность волноводной моды для усиления спин-флип сигнала от тонкого слоя с неколлинеарной намагниченностью была продемонстрирована экспериментально в работе [9].

### 1. Теория отражения поляризованных нейтронов

В последние годы теория отражения поляризованных нейтронов интенсивно развивалась. В работе Плешанова [15] были получены аналитические формулы для матричных (с учетом спин-флипа) коэффициентов пропускания и отражения для случая среды с произвольным направлением вектора намагниченности. В работах Игнатовича и Раду [16] был развит матричный формализм, использующий преобразование волновых функций спиноров на границах раздела к собственным для каждого слоя осям. Наконец, в работах Топерверга [17] было по-

лучено аналитическое выражение для интегральных  $(4 \times 4)$ -матриц распространения в слое с произвольным направлением намагниченности. Эти матрицы распространения наиболее удобны для расчетов как коэффициентов отражения, так и волнового поля нейтронов на заданной глубине, что и использовалось в данной работе. Рекуррентные соотношения Паррата [18], обобщенные в матричную форму для учета эффектов спин-флипа, использовались для тестирования компьютерных вычислений.

Исходным для описания распространения нейтронов в слоистых средах является одномерное уравнение Шрёдингера (выбираем ось  $z$  перпендикулярно поверхности):

$$\left( \frac{d^2}{dz^2} + k_{0z}^2 - \frac{2m}{\hbar^2} V(z) \right) \psi = 0, \quad (1)$$

где  $m$  — масса нейтрона,  $\psi$  — его волновая функция, характеризующаяся волновым вектором  $\mathbf{k} = (k_{\parallel}, k_z)$ ,  $k_{\parallel} = k \cos \vartheta$ ,  $k_{0z} = k \sin \vartheta$ ,  $k = \frac{2\pi}{\lambda}$ ,  $\lambda = \frac{h}{mv}$ ,  $v$  — скорость нейтрона во внешней среде. Потенциал взаимодействия со средой  $V$  включает  $V_{\text{nucl}}$  — взаимодействие нейтронов с ядрами и  $V_{\text{magn}}$  — взаимодействие спина нейтрона с магнитной индукцией в среде  $\mathbf{B}$ :

$$\hat{V} = V_{\text{nucl}} + \hat{V}_{\text{magn}} = \frac{2\pi\hbar^2}{m} b\rho - \mu\boldsymbol{\sigma}\mathbf{B}, \quad (2)$$

где  $b$  — длина рассеяния,  $\rho$  — плотность рассеивающих центров вещества,  $\mu$  — магнитный момент нейтрона (отметим, что  $\mu < 0$ ),  $\boldsymbol{\sigma}$  — спиновые матрицы Паули. Скалярное произведение  $\boldsymbol{\sigma}\mathbf{B}$  в случае неколлинеарного направления спина нейтрона и магнитной индукции представляет собой недиагональную  $(2 \times 2)$ -матрицу, поэтому уравнение Шрёдингера (1) — это матричное дифференциальное уравнение второго порядка, а волновая функция является спинором:

$$|\psi\rangle = \begin{pmatrix} \Psi_+(z) \\ \Psi_-(z) \end{pmatrix} e^{ik_{\parallel}x}. \quad (3)$$

Если переписать уравнение Шрёдингера (1), вводя в рассмотрение первую производную волновой функции  $|\varphi\rangle = \frac{1}{ik} \frac{d|\psi\rangle}{dz}$ , в виде

$$\frac{d}{dz} \begin{pmatrix} |\psi\rangle \\ |\varphi\rangle \end{pmatrix} = ik \begin{pmatrix} \hat{0} & \hat{1} \\ \sin^2 \vartheta + \hat{\chi} & \hat{0} \end{pmatrix} \begin{pmatrix} |\psi\rangle \\ |\varphi\rangle \end{pmatrix}, \quad (4)$$

где  $\hat{\chi} = \frac{-2m}{\hbar^2} \frac{\hat{V}}{k^2}$  — восприимчивость среды, то решение этого матричного уравнения, описывающего преобразование волновой функции нейтронов при прохождении их через однородный слой с толщиной  $d$ , принимает вид

$$\begin{pmatrix} |\psi(d)\rangle \\ |\varphi(d)\rangle \end{pmatrix} = \exp \left[ ikd \begin{pmatrix} \hat{0} & \hat{1} \\ \sin^2 \vartheta + \hat{\chi} & \hat{0} \end{pmatrix} \right] \begin{pmatrix} |\psi(0)\rangle \\ |\varphi(0)\rangle \end{pmatrix}. \quad (5)$$

Аналитическое выражение для матричного  $(4 \times 4)$ -экспоненциала получено в [17]\*):

$$\exp \left[ ikd \begin{pmatrix} \hat{0} & \hat{1} \\ \sin^2 \vartheta + \hat{\chi} & \hat{0} \end{pmatrix} \right] = \begin{pmatrix} \cos kd\hat{\eta} & i\hat{\eta}^{-1} \sin kd\hat{\eta} \\ i\hat{\eta} \sin kd\hat{\eta} & \cos kd\hat{\eta} \end{pmatrix}, \quad (6)$$

где  $\hat{\eta} = \sqrt{\sin^2 \vartheta + \hat{\chi}}$  нормированная (на  $2\pi/\lambda$ ) нормальная компонента матричного волнового вектора. Матрицу распространения  $\hat{L}$  для системы  $N$  слоев получают, как обычно, перемножая матрицы распространения (6) для всех слоев, поскольку волновые функции нейтронов и их производные непрерывны на границах раздела.

Граничная задача для многослойной структуры имеет вид:

$$\begin{pmatrix} |\psi_d\rangle \\ |\varphi_d\rangle \end{pmatrix} = \hat{L} \begin{pmatrix} |\psi_0\rangle + |\psi_r\rangle \\ |\varphi_0\rangle + |\varphi_r\rangle \end{pmatrix}, \quad (7)$$

где  $|\psi_0\rangle$  — волновая функция падающих нейтронов,  $|\psi_r\rangle$  — волновая функция отраженных нейтронов,  $|\psi_d\rangle$  — волновая функция нейтронов в подложке. Матрицу отражения  $\hat{R}$ , определяемую соотношением  $|\psi_r\rangle = \hat{R} |\psi_0\rangle$ , находим из (7)

$$\hat{R} = -(\hat{\eta}_d \hat{L}_{12} + \hat{L}_{22} \hat{\eta}_0)^{-1} (\hat{\eta}_d \hat{L}_{11} - \hat{L}_{21} \hat{\eta}_0), \quad (8)$$

где  $\hat{\eta}_d = \sqrt{\sin^2 \vartheta + \hat{\chi}_d}$ ,  $\hat{\eta}_0 = \begin{pmatrix} \sin \vartheta & 0 \\ 0 & \sin \vartheta \end{pmatrix}$ .

После вычисления волновой функции нейтронов на поверхности с использованием матриц распространения (6) можно определить волновые функции нейтронов в каждом слое на любой глубине.

Для вычисления матричного коэффициента отражения можно также обобщить известные рекуррентные соотношения Паррата для амплитуд волнового поля [18] на случай неколлинеарного магнитного упорядочения:

$$\begin{aligned} \hat{R}_n &= \hat{r}_n + \hat{t}'_n \hat{R}_{n+1}^{\text{up}} (1 - \hat{r}'_n \hat{R}_{n+1}^{\text{up}})^{-1} \hat{t}_n, \\ \hat{R}_{n+1}^{\text{up}} &= e^{i\hat{k}_n d_n} \cdot \hat{R}_{n+1} \cdot e^{i\hat{k}_n d_n} \end{aligned} \quad (9)$$

Матричные коэффициенты однократного («френелевского») пропускания и отражения  $\hat{r}_n, \hat{t}_n$  на границе  $n$ -го и  $(n+1)$ -го слоев легко выражаются через матричные нормальные составляющие волновых векторов нейтронов  $\hat{k}_n, \hat{k}_{n+1}$ :

$$\hat{r}_n = (\hat{k}_n + \hat{k}_{n+1})^{-1} (\hat{k}_n - \hat{k}_{n+1}), \quad \hat{t}_n = (\hat{k}_n + \hat{k}_{n+1})^{-1} 2\hat{k}_n, \quad (10)$$

изящный способ вычисления которых с использованием алгебры спиновых матриц Паули дан в работе [15]:

\* ) Для случая мёсбауэровского зеркального отражения аналогичное решение для  $(4 \times 4)$ -матричного экспоненциала было дано в [19].

$$\hat{k}_n = \frac{k_n^+ + k_n^-}{2} + \frac{k_n^+ - k_n^-}{2} \sigma \mathbf{e}_n, \quad \mathbf{e}_n = \frac{\mathbf{B}_n}{|B_n|}, \quad (11)$$

где  $k_n^\pm$  — собственные значения оператора  $\hat{k}_n$  в слое  $n$

$$k_n^\pm = \sqrt{k_{0z}^2 - \frac{2m}{\hbar} (V_{\text{nucl}} \pm |\mu B_n|)}. \quad (12)$$

Если  $\chi_n$  и  $\varphi_n$  — полярный и азимутальный углы  $\mathbf{B}_n$  в базисе собственных функций оператора спина нейтронов (ось квантования параллельна внешнему полю), то

$$\sigma \mathbf{e}_n = \begin{pmatrix} \cos \chi_n & \sin \chi_n \exp(-i\varphi_n) \\ \sin \chi_n \exp(i\varphi_n) & -\cos \chi_n \end{pmatrix}. \quad (13)$$

Расчеты отражения по формулам (9)–(13) использовались нами для проверки компьютерных вычислений по формулам (6), (9).

Спин-флип отражение определяется недиагональными элементами матрицы отражения, и оно максимально, когда вектор намагниченности перпендикулярен внешнему магнитному полю. Таким образом, в системах «мягкий магнетик/жесткий магнетик» свой вклад в спин-флип отражение будет давать как слой мягкого, так и слой жесткого магнетика. Нас интересует информация о направлении вектора намагниченности в мягком магнетике, поэтому, чтобы увеличить вклад рассеяния в мягком магнетике в спин-флип отражение, мы попробуем увеличить плотность нейтронного потока в слое мягкого магнетика.

## 2. Усиление сигнала в волноводе

Рассмотрим систему из трех слоев: покрывающий слой с толщиной  $d_1$ , слой мягкого магнетика  $d_2$  и жесткий магнетик в качестве подложки (рис. 2). В качестве покрывающего слоя выбран слой палладия, мягкий магнетик — слой изотопа железа  $^{57}\text{Fe}$ , жесткий магнетик — сплав железа и платины. Подобная структура рассматривалась в работе [7].

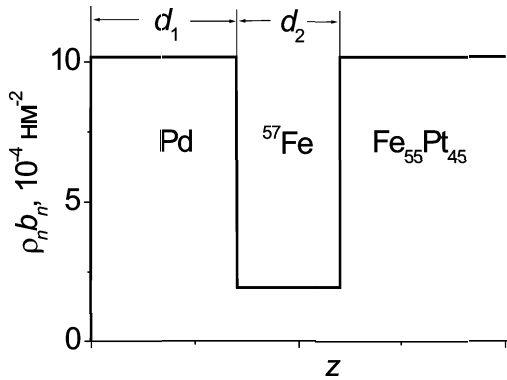


Рис. 2. Рассматриваемая модель изменения плотности длины рассеяния нейтронов (профиля ядерной плотности) в трехслойной структуре Pd/ $^{57}\text{Fe}$  (мягкий магнетик)/ $\text{Fe}_{55}\text{Pt}_{45}$  (жесткий магнетик) с Pd покрытием

Поле в интересующем нас слое мягкого магнетика может быть записано в виде

$$\begin{aligned} |\psi_2\rangle &= e^{\hat{k}_2 z} |A_2\rangle + e^{-\hat{k}_2 z} |B_2\rangle, \\ |B_2\rangle &= e^{\hat{k}_2 z} \hat{R}_2 e^{\hat{k}_2 z} |A_2\rangle, \end{aligned} \quad (14)$$

где  $|A_n\rangle$ ,  $|B_n\rangle$  — спиноры, определенные на верхней границе  $n$ -го слоя. Матричные соотношения (14) слишком сложны для аналитического анализа возможности формирования волноводной моды. Предполагая, что слабое спин-флип рассеяние является малым возмущением, мы начнем рассмотрение в рамках скалярной теории (для коллинеарной магнитной структуры), а затем «подстроим» его численно для расчетов зеркального отражения со спин-флипом. Тогда волновая функция нейтронов и волновые векторы  $k_2$  будут скалярами:

$$\psi_2 = A_2 e^{ik_2 z} + B_2 e^{-ik_2 z}. \quad (15)$$

Если определить скалярные амплитуды  $A_i$ ,  $B_i$  на верхней поверхности, а коэффициенты многократного отражения  $R_i$  на нижней поверхности каждого слоя (т.е.  $B_i = A_i e^{2ik_i d_i} R_i$ ), то из условия непрерывности суммарного поля на границах раздела получаем:

$$\begin{aligned} A_2 &= A_1 e^{ik_1 d_1} \frac{1 + R_1}{1 + R_2 e^{2ik_2 d_2}} = \\ &= A_1 e^{ik_1 d_1} \frac{1 + r_{12}}{(1 + r_{12} r_{23} e^{2ik_2 d_2})}, \end{aligned} \quad (16)$$

так как

$$R_1 = \frac{r_{12} + R_2 e^{2ik_2 d_2}}{1 + r_{12} R_2 e^{2ik_2 d_2}}, \quad R_2 = r_{23}, \quad (17)$$

а коэффициенты  $r_{ik}$  определяют амплитуды однократного френелевского отражения на границе раздела соответствующих слоев.

Для систем «мягкий магнетик/жесткий магнетик» свой вклад в спин-флип рассеяние будет давать как слой мягкого, так и слой жесткого магнетика, так как в обоих этих слоях присутствует неколлинеарная намагниченность. Для того чтобы исключить вклад от определенного участка слоя мягкого магнетика, рассмотрим условие образования нейтронной стоячей волны в слое мягкого магнетика с минимумом амплитуды суммарного поля вблизи слоя жесткого магнетика. Резонансное усиление волны в слое железа (максимум амплитуды  $A_2$ ) можно получить, если занулить знаменатель в (16). В случае  $|r_{23}| \approx 1$ ,  $|r_{12}| \approx 1$  (в области полного отражения) это означает следующее условие для фаз нейтронных волн [8–10]:

$$\arg(r_{12}) + \arg(r_{23}) + 2 \operatorname{Re}(k_2) d_2 = \pi(2n + 1). \quad (18)$$

Так как  $r_{12} = -r_{21}$ , то можно заметить, что условие (18) есть условие того, что волны, многократно отраженные от верхней или нижней границы второго слоя, будут складываться в фазе (известное условие для волновода).

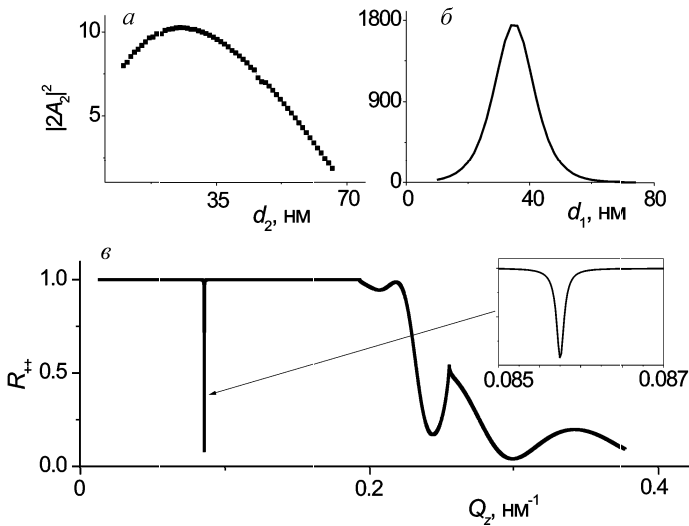


Рис. 3. (а) Зависимость максимума плотности нейтронов в слое мягкого магнетика от толщины слоя железа  $d_2$  (при соблюдении условия резонансного усиления (18)). (б) Зависимость максимума плотности нейтронов от толщины покрывающего слоя  $d_1$  при оптимальной толщине слоя железа  $d_2 = 25$  нм, найденной из рис. 2, а. (в) Коэффициент отражения нейтронов без спин-флипа  $R_{++}$  для оптимизированной системы Pd(35 нм)/ $^{57}\text{Fe}$ (25 нм)/Fe<sub>55</sub>Pt<sub>45</sub> в функции переданного импульса  $Q_z$ . Провал на кривой отражения при  $Q_z = 0.085$  нм<sup>-1</sup> соответствует возникновению волноводной моды для нейтронной волны в слое железа. На вставке представлен провал в увеличенном масштабе, его ширина  $\sim 10^{-4}$  нм<sup>-1</sup>

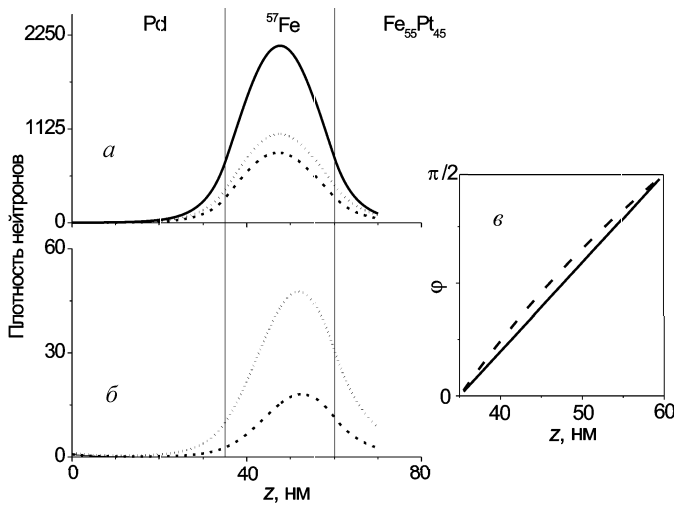


Рис. 4. Профиль стоячей нейтронной волны со спинами параллельными внешнему полю (а) и антипараллельными внешнему полю (б). Сплошная линия (а) для среды без вращения намагниченности в железе (отсутствие спин-флипа), штрихованная — стоячая волна для линейной модели вращения намагниченности в слое железа, пунктирная линия — стоячая волна для логарифмической модели. Расчеты для соответствующих  $Q_z$ , при которых на кривых отражения  $R_{++}$  возникает провал. (в) Законы изменения направления намагниченности  $\varphi(z)$  с глубиной: сплошная линия — линейный закон, штриховая линия — логарифмический

В работе [11] показано, что величина  $|A_2|$  при соблюдении условия (18) меняется немонотонным образом в зависимости от толщин слоев  $d_1$  и  $d_2$ , что позволяет произвести настройку системы на

максимально возможную амплитуду волны в слое железа (рис. 3, а, б). Возникновению волноводного увеличения плотности нейтронов в слое железа соответствует глубокий провал на кривой зеркального отражения — рис. 3, в. Действительно, непосредственный расчет обнаруживает увеличение плотности нейтронов в середине слоя железа почти в 2500 раз для оптимизированной структуры и соответствующего (18)  $Q_z$  (рис. 4). Очевидно, что основной вклад в спин-флип сигнал будет давать та часть слоя железа, в которой плотность нейтронов максимальна, то есть середина слоя железа. Однако волноводный режим возникает в результате очень тонкой резонансной подстройки амплитуд и фаз многократно переотраженных волн, поэтому можно ожидать, что при возникновении неколлинеарного упорядочения намагниченности и возникновении спин-флип канала отражения этот режим может разрушиться.

### 3. Модельные расчеты коэффициента отражения для различных моделей поворота вектора намагниченности

Для выявления волноводного решения при наличии спин-флипа был рассчитан коэффициент отражения поляризованных нейтронов без спин-флипа в функции  $Q_z$ , глубокий минимум на которой должен был соответствовать искомому решению. Оказалось, что при наличии спин-флипа положение провала смещается, подобный эффект был также обнаружен в [10]. Однако волноводное усиление поля для смещенного  $Q_z$  сохраняется, хотя и в ослабленном виде.

Для модельных расчетов было выбрано два закона изменения намагниченности  $\varphi(z)$  (см рис. 4, в): линейный, когда намагниченность равномерно поворачивается от параллельного внешнему полю направления вблизи поверхности до перпендикулярного около подложки, и логарифмический  $\varphi(z) = A \ln(z) + C$ . Такого изменения можно ожидать при достаточно сильном внешнем поле, когда

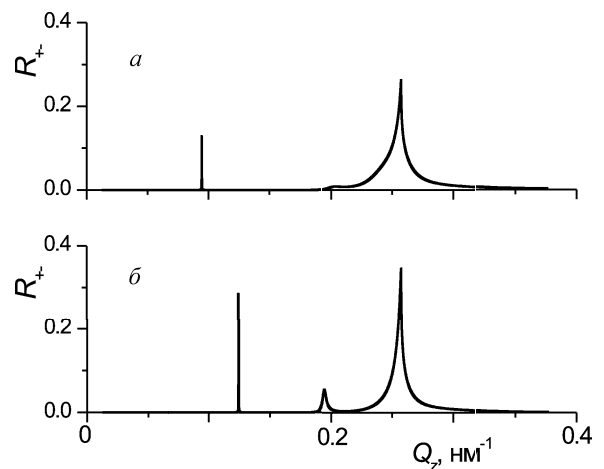


Рис. 5. Кривые спин-флип отражения поляризованных нейтронов  $R_{+-}$  для структур с различными моделями вращения намагниченностей в слое мягкого магнетика: (а) линейный закон; (б) логарифмическим закон

намагниченность в слое железа выстроена преимущественно параллельно внешнему магнитному полю [12, 13]. На рис. 4, *a, б* показано, как меняется плотность нейтронов в слое мягкого магнетика при включении внешнего магнитного поля, перпендикулярного направлению намагниченности подложки. Видно, что при появлении спирального закручивания намагниченности в слое мягкого магнетика амплитуда стоячей нейтронной волны существенно уменьшается, однако резонансное усиление по-прежнему достаточно велико.

Существенно, что именно положение провала на кривой отражения для отражения без спин-флипа и соответствующего максимума на кривой отражения со спин-флипом может характеризовать тип изменения намагниченности с глубиной (рис. 5).

### Заключение

Трудность исследования систем «мягкий магнетик/жесткий магнетик» при помощи поляризованных нейтронов заключается в том, что свой вклад в спин-флип отражение дает как слой мягкого, так и слой жесткого магнетика. Этой трудности можно избежать, если возбудить в слое мягкого магнетика волноводную моду. Проведенные на основе общей теории отражения расчеты показали, что волноводный режим распространения нейтронных волн в исследуемых системах может существовать и при наличии спин-флипа, несколько видоизменяясь. Этот канал рассеяния чрезвычайно чувствителен к различным моделям магнитного упорядочения в слое мягкого магнетика и может использоваться для исследований параметров обменного взаимодействия как альтернатива экспериментам с резонансными тестовыми монослоями.

Работа поддержана грантами РФФИ № 01-02-17541 и № 03-02-17168. Авторы выражают признательность В. Л. Аксенову, Ю. В. Никитенко и В. К. Игнатовичу за полезное обсуждение проблемы.

### Литература

1. *Kortright J.B., Awschalom D.D., Stöhr J.* et al. // *JMMM*. 1999. **207**. P. 7.
2. *Irkaev S.M., Andreeva M.A., Semenov V.G.* et al. // *Nuclear Instrum. and Methods in Phys. Res.* 1993. **B74**. P. 545; 1995. **B103**. P. 351.
3. *Andreeva M.A., Semenov V.G., Häggström L.* et al. // *Hyperfine interactions*. 2001. **136/137**. P. 687.
4. *Zabel H.* // *Physica B*. 1994. **198**. P. 156.
5. *Majkrzak C.F.* // *Physica B*. 1996. **221**. P. 342.
6. *Shinjo T., Keune W.* // *J. Magn. and Magn. Mater.* 1999. **200**. P. 598.
7. *Röhlsberger R., Thomas H., Schlage K.* et al. // *Phys. Rev. Lett.* 2002. **89**. P. 237201.
8. *Aksenov V.L., Nikitenko Yu.V.* // *Physica B*. 2001. **297**. P. 101.
9. *Аксенов В.Л., Никитенко Ю.В., Кожевников С.В.* и др. // *Поверхность*. 2000. **8**. С. 10.
10. *Никитенко Ю.В.* Стоячие нейтронные волны. Рабочее совещание по исследованию слоистых магнитных структур. Будапешт, 2001; *Aksenov V.L., Nikitenko Yu.V.* ICNS 2001. Munich 2001. Abstract book. P. 87, A-242.
11. *Бушнев В.А., Орешко А.П.* Материалы совещания «Рентгеновская оптика-2003». Институт физики микроструктур РАН. Н. Новгород, 2003. С. 45.
12. *Fullerton E.E., Jiang J.S., Grimsditch M.* et al. // *Phys. Rev. B*. 1998. **58**. P. 12193.
13. *Camley R.E.* // *Phys. Rev. B*. 1987. **35**. P. 3608.
14. *O'Donovan K.V., Borchers J.A., Majkrzak C.F.* et al. // *Phys. Rev. Lett.* 2002. **88**. P. 067201-1.
15. *Pleshanov N.K.* // *Z. Phys. B*. 1994. **94**. P. 233.
16. *Radu F., Ignatovich V.K.* // *Physica B*. 2001. **267-268**. P. 175.
17. *Rühm A., Toperverg B.P., Dosch H.* // *Phys. Rev. B*. 1999. **60**. P. 16073.
18. *Parrat L.G.* // *Phys. Rev.* 1954. **95**, N 2. P. 359.
19. *Андреева М.А., Росете К.* // *Вестн. Моск. ун-та. Физ. Астрон.* 1986. **27(3)**. С. 57.

Поступила в редакцию  
15.09.03